

## 実時間ゴミ集めにおけるルート挿入の効率化

近藤 豪† 中西正和††

† 慶應義塾大学大学院 理工学研究科 計算機科学専攻

†† 慶應義塾大学大学院 理工学部 情報工学科

ゴミ集め(以下 GC)によって生じる処理の停止時間をなるべく抑えるための研究として、実時間 GC がある。この実時間 GC の主要なアルゴリズムである Snapshot-at-beginning では、GC 開始時に行なうルート挿入の際に一旦処理を停止させなければならない。現在この停止時間は、ルート集合の大きさに依存し、上限が定まっていない。これは実時間システムにとっては致命的な欠点であると考えられる。

本稿では、この停止時間に対して上限を定める、インクリメンタルルート挿入と呼ばれる手法を提案する。そして、その手法を Lisp1.5 をベースとする言語処理系のインクリメンタル GC 上に実装し、その有効性を実験によって示した。

## Efficiency Improvement of Root Insertion on Real-time Garbage Collectors

Go KONDO† Masakazu NAKANISHI††

†Department of Computer Science

Graduate School of Science and Technology

†† Department of Information and Computer Science

Faculty of Science and Technology

Keio University

3-14-1, Hiyosi, Kouhoku, Yokohama 223, Japan

Real-time Garbage Collection is a study that makes pause time caused by GC as short as possible. But, Snapshot-at-beginning algorithm, which is a major algorithm of real-time GC, has to pause processing while root insertion at the beginning of GC. That pause time depends on the scale of root set, so its upper bound is not fixed. It may be a fatal weak point for real-time system.

In this paper, we propose a method called "Incremental Root Insertion", that fixes upper bound of the pause time. Then, we implemented the method on a incremental garbage collector of the Lisp1.5 based system, and showed how efficient that is by a few experiments.

## 1 はじめに

Lisp やオブジェクト指向プログラミング言語などの処理系では、動的に確保されたメモリ領域を再利用するゴミ集め(以下 GC)が必要となる。通常は GC を起動する際に処理を停止し、GC が終了するまで待つということをする。しかし、この中断時間は実時間性が要求されるアプリケーションの実行では致命的な欠点となる。この中断時間をなるべく短くすることを目的とした研究が実時間 GC である。

実時間 GC ではこれまで様々な手法が提案されてきたが、その主要なアルゴリズムである Snapshot-at-beginning[5] では、ルート挿入時の停止時間に対して上限が定まっていない。本稿では、まずははじめに実時間 GC のアルゴリズムとその問題点をのべ、次にその問題点を解消するインクリメンタルルート挿入(以下 IRI)と呼ばれる手法の提案を行なう。そして最後に、その手法を実装したインクリメンタル GC での実験結果を報告し、その有効性を検証する。

## 2 実時間 GC

実時間 GC では、以下のようなことが目的となる。

1. メモリ領域の枯渇による処理の停止を防ぐ
2. 毎回の GC を実行する際になるべく処理を中断させない。

この目的を達成するために、GC プロセス collector とリスト処理プロセス mutator を並列に動作させる並列 GC と mutator の処理中に collector の処理を時間的に分散させ、疑似的に mutator が停止していない様に見せるインクリメンタル GC の 2通りの方法で実現される。両者は採用するアルゴリズムや実装上の問題点などは共通しているので、本稿では区別せず、実時間 GC として議論する。

### 2.1 実時間 GC のアルゴリズム

まず、問題点を明らかにするために、collector による生きているオブジェクトの走査を 3 色の印づけ

で説明する。black はすでに印づけを行なったオブジェクト、gray は印づけを行なったが、その先はまだ走査していないオブジェクト、white は印づけがされていないオブジェクトである。一般には、black が直接 white を指すことはない。

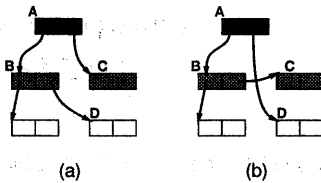


図 1: mutator によるポインタの書き換え

ここで、mutator がポインタの書き換えを行なった場合を考える。mutator は図 1(a) のようなポインタを図 1(b) のように変化させた。このような場合、collector はオブジェクト D が生きていることを認識するために mutator と collector を協調させなければならない。その方法に 2通りあり、一方は、書き込みの際に同期操作を行なうライトバリア型のアルゴリズム、もう一方は、読む際に同期操作を行なうリードバリア型のアルゴリズムである。読み込みの頻度は書き込みの頻度よりも非常に多いためリードバリア型は実行の効率が非常に悪い。そのため、ライトバリアを用いた方法が主流となっており、

- Incremental update
- Snapshot-at-beginning

の 2種類がある。

On-the-fly GC[1] によって提案された前者のアルゴリズムは、ポインタの書き換えが起こったときは、書き換えた先のオブジェクトを生きているものとして扱う。図 1 の例では、A にある C を指しているポインタを切断して、D を指したときに D を gray にする。これによって、D が生きていることが保証される。

しかし、Incremental-update アルゴリズムでは、ルート挿入の際に mutator を止める必要がないなどの利点がある一方、頻繁に書き変わるルートセットを印づけが終了する度に、white を指していないかチェックする必要がある。これを root set scanning

と呼び、Incremental update アルゴリズムの大きな欠点となっている [2][4].

**Snapshot GC**[5]によって提案されたこのアルゴリズムは、ポインタの書き換えが起こったときには、書き換えの前に指されていたオブジェクトを生きているものとして扱うというアルゴリズムである。これによって、GC が始まった時点で生きていたすべてのオブジェクトがルートから到達可能となることを保証している。

図 1 の例では、B にある D を指しているポインタを切断したときに D を gray にする。これによって、D が生きていることが保証される。

## 2.2 ルート挿入における問題点

前述の Snapshot-at-beginning 型アルゴリズムは、Incremental-update よりも回収効率が悪くルート挿入時に停止が必要という欠点があるが、root-set-scanning のような致命的な弱点がなく簡単に実装できるので、現在の実時間 GC はほとんどがこのアルゴリズムを採用している。

実時間 GC では一般的に停止型の GC よりも回収効率が悪く、その中でも Snapshot-at-beginning は、特に悪い。これまでの研究では、その Snapshot-at-beginning 型の回収効率を何とか Incremental-update 並に引き上げる研究が主であった。成果として、世代別の考えを取り入れた **Partial Marking GC**[3] や、Incremental-update と Snapshot-at-beginning を組み合わせた **Complementary GC**[2] などがあげられる。これらによって、実時間 GC の目的 1 は、達成されたといってよい。

しかし、これらの GC では Snapshot-at-beginning を基本としているため、ルート挿入時に mutator の停止が必要であり、目的 2 が達成されていないのが現状である。このルート挿入時の停止時間は、ルート集合の大きさに依存する。ルート集合には、レジスタ、グローバル変数、スタックなどが含まれるが、その大部分を占めるスタックは実行時に深さが大きく変化するので、この停止時間に対して上限が定まっ

ていないのが現状である。  
・スタックに割り付けるオブジェクトをなるべくヒープに割り付けてルート集合をなるべく小さくとるという回避方法もあるが [4]、根本的な解決策にはっていない。

## 3 インクリメンタルルート挿入 (IRI)

以上のことから、ルート集合の大部分を占めるスタックが問題となって、ルート挿入時の停止時間に上限が定まらないことがわかる。しかし、スタックの性質に注目すると mutator の読み込みと書き込みはトップ付近に注目していることが分かる。

そこで、我々はその性質に着目し、インクリメンタルルート挿入(以下 IRI)と呼ばれる手法を考案した。従来の実時間 GC では、GC が起動されると mutator を停止させ、ルート集合すべてを collector の GC スタックにコピーしていた。IRI では、ルート挿入を mutator を停止することなく並列 GC の場合は collector が mutator に対して並列に、インクリメンタル GC の場合は collector がインクリメンタルに行なう。

ただし、ルート挿入はルート集合に対して、ページ単位で書き込み保護をかけ、保護がかかった部分から挿入をする(図 2(a))。挿入の順番は、最適化された Incremental update アルゴリズム同様、スタックの下部から上部へと行なう。ここで、mutator が初めて保護がかけられたページに書き込みを行なった場合、mutator は止まらなければならない(図 2(b))。

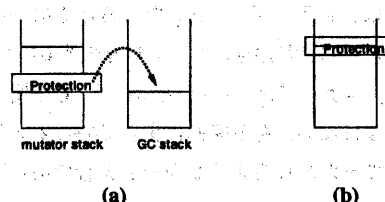


図 2: ページ単位のルート挿入  
そして、そのページ中にあるルートを挿入する。

また、グローバル変数や、レジスタなどをルートで持っている場合は、それらも挿入する。その後、処理を再開するが、mutator が停止していた時間の上限は、1 ページ分(とレジスタ、グローバル変数)のルート挿入に要する時間であるので、これは定数時間である。

### 3.1 IRI を採用できる条件

ただし、現在保護をかけてコピーを行なっているページよりも下部のページに mutator が書き込みを行なった場合に停止時間の上限が保証できるかどうかが問題となる。このケースは、親の局所変数の参照呼びや、ページサイズよりも大きなオブジェクトをスタック上に割り付けた場合などである。これらのケースは、プログラムのスタイルや処理系の実装方法を変更することで回避する。本稿での実験で実装した Lisp インタプリタは、このようなケースが発生しない処理系である。

### 3.2 IRI を採用した GC の正当性

GC は、生きているオブジェクトは決してゴミとして回収されない、死んでいるオブジェクトはいつか回収される、という 2 つのことを満たすとき、正当であるという。

Snapshot-at-beginning 型のアルゴリズムは、GC が開始された時点で生きているオブジェクトのスナップショットをとり、それらのオブジェクトは、GC が終了するまでたえ死んでも生きているとみなす、という考え方に基づいて正当性を保証している。

従来は、スナップショットをとるために mutator を停止して GC 開始時のルート集合を獲得していた。しかし、スナップショットをとるのは、GC 開始時である必要はない。ある瞬間に生きているオブジェクトすべてをたどれるようなルート集合であれば GC 開始時点より遅れてもいいはずである。

IRI を採用した GC は、書き込み保護に抵触した時点での生きているオブジェクトのスナップショットをとっているという意味で、正当性を満たした GC

である、ということができる。

## 4 実験結果及び考察

### 4.1 実験方法

本稿の実験では、Lisp1.5 ベースの処理系(セル数 1M 個)に IRI を採用したインクリメンタル GC と IRI を採用していないインクリメンタル GC を実装し、各種ベンチマークプログラムを用いてルート挿入の時間とその時のスタックの深さおよび全体の実行時間を計測した。IRI での保護単位になるページのサイズは、OS が定めているページサイズ 4096 バイトとした。そのときの実験環境および、ベンチマークプログラムは以下の通りである。なお、実行はリアルタイムスケジューリングクラスで行なった。

### 実験環境

- 機種 — SPARC station 20
- 主記憶 — 96MB
- 2 次キャッシュメモリ — 1MB
- OS — SunOS 5.5.1
- ベンチマークプログラム
  - 再帰による階乗
  - 再帰での計算のためスタックがはじめに一気に伸び、あとは徐々に縮まる。Bignum 計算のためメモリの消費量が多く、GC がよく起動される。
  - Bit リスト処理プログラム。生きているオブジェクトが多く、消費も大きいため GC がよく起動される。また、スタックは徐々に深くなるという特徴をもつ。
  - アッカーマン関数
  - 数値計算プログラム。スタックの深さ、変動量ともに大きい。

## 4.2 結果及び考察

### 4.2.1 ルート挿入時間の比較

IRI を採用した GC と採用しない GC の双方で上記のベンチマークプログラムを実行した際のルート挿入時の mutator の停止時間とその時のスタックの深さとの関係を図 3, 図 4, 図 5 に示す。なお、インクリメンタル GC での実験のため IRI ではルート挿入時の mutator の停止が複数回になる。以下の図ではその停止すべてを記録している。

これらの図を見てわかるとおり、従来型では、スタックが深くなればなるほど停止時間が大きくなっている。しかし、IRI ではスタックの深さによらず、停止時間が 1 ミリ秒以下になっていることがわかる。これらの実験結果から IRI では、Snapshot-at-beginning 型の欠点であるルート挿入時の停止時間に対して上限を保証していることがわかる。

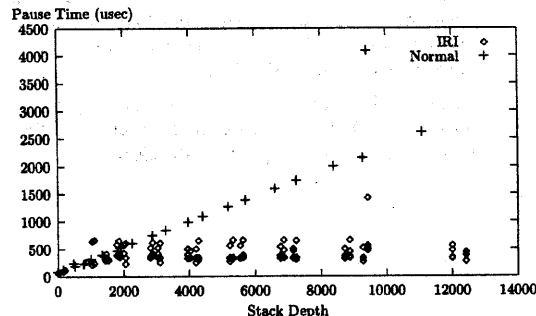


図 3: 再帰による階乗

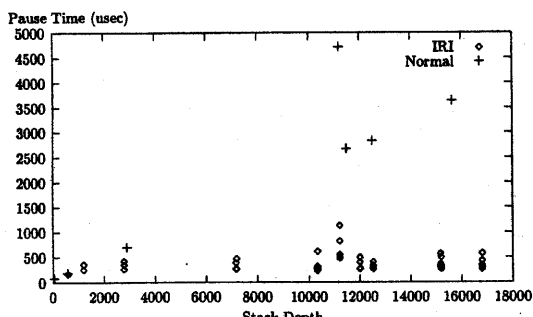


図 4: Bit

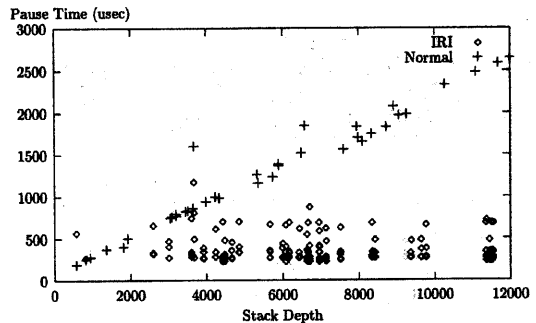


図 5: Ack

これらの実験では、従来型、IRI ともに 1箇所のみ通常よりも多くの時間がかかる現象が確認された(図 3 ではスタックの深さが 9500 付近、図 4 では 11000 付近、図 5 では、4000 付近)。その現象が起るのは決まって 1 回目の GC のときである。キャッシュミスによる遅延が発生しているものと思われる。

### 4.2.2 実行時間の比較

ルート挿入時の mutator の停止時間は上記のとおりであるが、全体の実行時間についても測定を行なった。再帰による階乗、Bit、アッカーマンの結果をそれぞれ、表 1、表 2、表 3 に示す。

表 1: 再帰による階乗

	実行(秒)	GC(秒)	起動回数
IRI	32.68	13.00	6
従来型	24.39	9.04	4

表 2: Bit

プログラム	実行(秒)	GC(秒)	起動回数
IRI	17.12	6.13	2
従来型	16.09	5.92	2

この結果から分かる通り、IRI は従来型よりも最大で 3 割程度遅くなっている。その主な原因が GC の起動回数であると考えられる。IRI ではルート挿入フェーズ中にアロケートされるオブジェクトは生きているものとして扱われるので、単純な Snapshot-at-beginning アルゴリズムよりも保守性が大きい。

表 3: アッカーマン			
プログラム	実行(秒)	GC(秒)	起動回数
IRI	238.3	76.13	34
従来型	176.4	44.38	19

よって、そのことが回収効率に影響しているものと思われる。

## 5 結論及び今後の展望

### 5.1 結論

以上をまとめると以下が結論として導ける。これより IRI は有効な手法であると考えられる。

- Snapshot-at-beginning 型アルゴリズムの GC に IRI を実装することで、ルート挿入時の停止時間に対して、上限を保証することが可能となった。このことによって実時間システムへの応用が期待される。
- IRI の導入により、オブジェクトの保守性は高くなる。よって GC の起動回数および実行時間が大きくなる場合がある。

### 5.2 今後の展望

上より、IRI によってルート挿入時の実時間性を保証することが可能となったが、まだ解決しなければならない問題は多い。それを以下に挙げる。

#### • 保守性の削減

IRI では、オブジェクトの保守性が増し、GC 起動回数が増えるという現象が観測された。この保守性を削減することによって IRI の導入コストを抑制することが可能となる。

#### • 並列 GC への適用

インクリメンタル GC と並列 GC では、根本的な大きな違いはない。本稿ではインクリメンタル GC に IRI を実装したが、並列 GC においても実現可能であると考えられる。

#### • ページサイズの選定

理論的には、保護をかけるページのサイズが小

さければ小さいほど IRI での停止時間は短いはずである。保護をかけるための処理とのトレードオフを考慮に入れた最適なページサイズの選定を調べる必要がある。

## 参考文献

- [1] E. W. Dijkstra, L. Lamport and A. J. Martin, C. S. Scholten, and E. F. M. Steffens. On-the-Fly Garbage Collection: An Exercise in Cooperation. *Communications of the ACM*, Vol. 21, No. 11, pp. 966-975, 1978.
- [2] S. Matsui, Y. Tanaka, A. Maeda, and M. Nakanishi. Complementary garbage collector. In *International Workshop on Memory Management*, No. 986 in Lecture Notes in Computer Science, pp. 163-177, 1995.
- [3] Y. Tanaka, S. Matsui, A. Maeda, and M. Nakanishi. Partial marking gc. In *Proceedings of International Conference on CONPAR94-VAPP VI*, pp. 337-348, 1994.
- [4] P. R. Wilson. Uniprocessor Garbage Collection Techniques. In *International Workshop on Memory Management*, No. 637 in Lecture Notes in Computer Science, pp. 1-42, 1992.
- [5] T. Yuasa. Real-time garbage collection on general-purpose machines. *Journal of Software and Systems*, Vol. 11, No. 3, pp. 181-198, 1990.